



IRANIAN SOCIETY of  
CRYSTALLOGRAPHY  
and MINERALOGY

Vol. 17, No. 3, Fall 1388/2009

IRANIAN JOURNAL of  
CRYSTALLOGRAPHY  
and MINERALOGY

## Thermal treatment investigation of natural lizardite at the atmospheric pressure, based on XRD and DTA/TG analysis methods

R. Dabiri<sup>1</sup>, B. Karimi Shahraki<sup>2</sup>, H. Mollaeei<sup>3\*</sup>, M. Ghaffari<sup>3</sup>

1- Science and Research Branch, Islamic Azad University, Tehran, Iran

2- Mineralogy Lab, Iran Mineral Processing Research Centre (IMPRC)

3-Department of Geology, Faculty of Sciences, Islamic Azad University-Mashhad Branch

(Received: 15/12/2008, in revised form: 25/5/2009)

**Abstract:** Determination of stability limits, mineralogical changes and thermal reaction of serpentine minerals are very important for the investigation of magmatism, mechanism and depth of plates of subduction. During the subduction process, serpentine (Lizardite) minerals will release their water due to thermal reactions. This dehydration can play an important role in volcanism processes related to the subduction. In this study, serpentine minerals (Lizardite) collected from the Neyriz Ophiolite Complex (NOC) were dehydrated under the constant atmospheric pressure. These mineralogical changes were determined by X-Ray diffraction and DTA-TG analyses methods. This study shows natural lizardites that heated for about one hour is stable up to 550°C. Dehydration reactions on lizardite started at approximately between 100 to 150°C and dehydroxilation reactions started at approximately 550-690°C. As a result of thermal reaction, the decomposition of lizardite will take place and then changes in to olivine (forsterite). Crystallization of olivine (forsterite) will start at 600°C. This mineral is stable up to 700°C and then crystallization of enstatite will start at 700°C. During this dehydration and crystallization reaction, amorphous processes will start at 600°C and some amount water and silica will release.

**Keywords:** Lizardite, serpentine, thermal reaction, XRD, DTA-TG

---

\* Corresponding author, Tel.: +98 (0511) 8408008, Fax:+98 (0511) 8446361, E-mail: hamollai@yahoo.com



## بررسی رفتار گرمایی لیزاردیت‌های طبیعی در فشار اتمسفری، بر اساس تجزیه DTA-TG و XRD

رحیم دبیری<sup>۱</sup>، بهروز کریمی شهرکی<sup>۲</sup>، حبیب ملائی<sup>۳\*</sup>، میترا غفاری<sup>۳</sup>

۱- دانشگاه آزاد اسلامی، واحد علوم و تحقیقات، تهران، ایران

۲- موسسه تحقیقات فرآوری مواد معدنی، کرج، ایران

۳- گروه زمین‌شناسی، دانشکده علوم، دانشگاه آزاد اسلامی مشهد

(دریافت مقاله: ۸۷/۹/۲۵، نسخه نهایی: ۸۸/۲/۶)

چکیده: تعیین میزان پایداری، تغییرات کانی‌شناسی و واکنش‌های گرمایی کانی‌های سرپانتین، می‌تواند در تعیین ساز و کار فرورانش، ماگماتیسم و عمق صفحات فرورونده بسیار راهگشا باشد. طی فرایند فرورانش، واکنش‌های گرمایی، باعث آزاد شدن آب کانی‌های سرپانتینی می‌شود. این امر نقش به سزاوی را در فرایندهای آتشفسانی وابسته به فرورانش ایفا می‌کند. در این کار پژوهشی، رفتار گرمایی و تغییرات کانی‌شناختی کانی لیزاردیت (سرپانتین)، وابسته به منطقه افیولیتی نیریز، در گستره‌های گرمایی متفاوت و در فشار جوی، با پراش پرتو X (XRD) و آنالیزهای DTA-TG مورد بحث و بررسی قرار می‌گیرد. بررسی‌ها نشان داد که، واکنش‌های آبزدایی (Dehydration) لیزاردیت‌های طبیعی، که به مدت یک ساعت، در دمای ۱۰۰ تا ۱۵۰ درجه سانتیگراد گرفته‌اند، واکنش‌های هیدورکسیل زدایی (Dehydroxilation) آنها در گستره دمایی ۵۵۰ تا ۶۹۰ درجه سانتیگراد صورت می‌گیرد. لیزاردیت‌های طبیعی تا دمای ۵۵۰ درجه سانتیگراد پایدار بوده و در دمای ۶۰۰ درجه سانتیگراد به الیوین (فورستیریت) تبدیل می‌شوند. همچنین در دمای ۷۰۰ درجه سانتیگراد، پیروکسن (انستاتیت) در نتیجه تجزیه لیزاردیت تشکیل می‌شود. بین واکنش‌های آب زدایی و تبلور، آمورف شدن، در دمای ۶۰۰ درجه سانتیگراد رخ داده و باعث تشکیل مقادیر اندازی آب و سیلیس آزاد شده است.

**واژه‌های کلیدی:** لیزاردیت، سرپانتین، رفتار گرمایی، DTA-TG، XRD

کانی‌ها، جزء فیلوسیلیکات‌های آبدار بوده و در ساختار خود

مقدمه

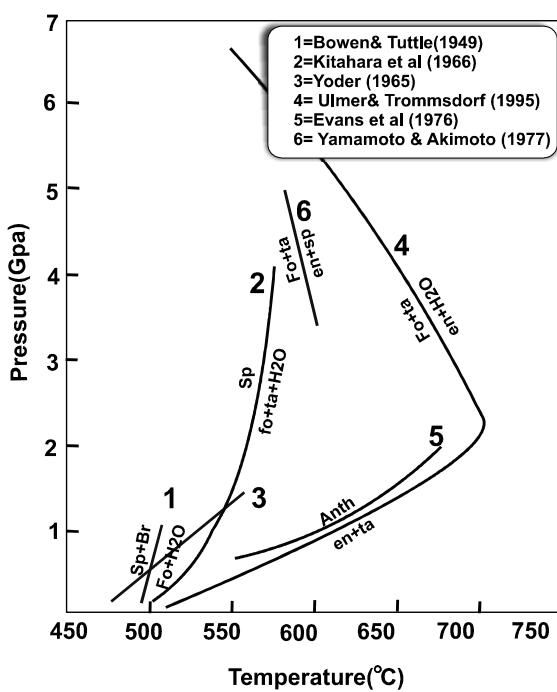
حدود ۱۳٪ آب دارند. کانی‌های سرپانتین، در نتیجه آبگیری از

لیزاردیت، آنتیگوریت و کریزوتویل، سه چند ریخت مهم گروه

الیوین، پیروکسن و کانی‌های سیلیکاتی دیگر غنی از منیزیم،

سرپانتین، با فرمول عمومی  $Mg_3Si_2O_5(OH)_4$  هستند. این

\* نویسنده مسئول، تلفن: ۰۵۱۱۸۴۴۶۳۶۱، نامبر: ۰۵۱۱۸۴۰۸۰۰۸، پست الکترونیکی: hamollai@yahoo.com

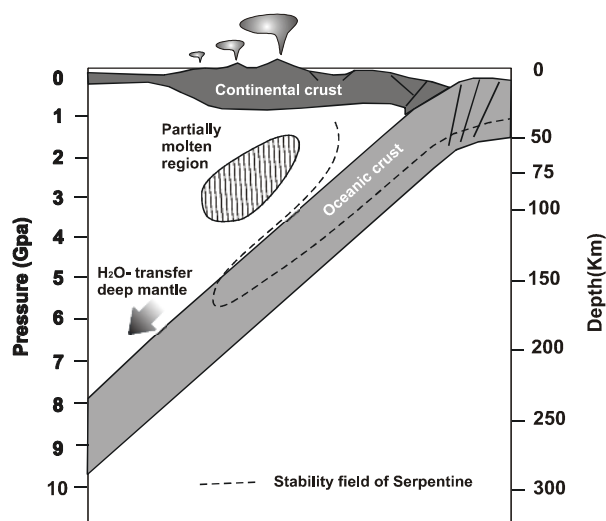


شکل ۲ گسترهای پایداری تعیین شده برای کانی‌های گروه سرپانتین برگرفته از کارهای تجربی [۶].  
 (سرپانتین=Sp، Br=بروسیت، Fo=فورستریت، Ta=تالک، Anth=آنوفیلیت، en=انستاتیت).

### روش کار

این کار پژوهشی شامل سه مرحله، سنگ‌شناختی، بررسی‌های DTA-TG و XRD است. کلیه آزمایش‌ها، در موسسه تحقیقات پیشرفته فرآوری مواد معدنی ایران (IMPRC)، که دارای گواهینامه مدیریت کیفیت ISO17025 است، صورت گرفته است. نمونه‌های سرپانتینیت، نخست به منظور تعیین پارازنز کانیایی و ویژگی‌های بافتی سنگ‌ها، مورد بررسی‌های سنگ‌شناختی قرار گرفتند. به منظور بررسی رفتار گرمایی، نمونه‌ها در شرایط فشار جو و به روش پراش پرتو X مورد بررسی قرار گرفتند. این کار در گستره  $2\theta = 4^\circ - 80^\circ$  و با دستگاه Philips XRD مدل XPert انجام پذیرفت. در ادامه تحت شرایط کنترل شده، پودرها با آب مقطر مخلوط شده و به تعیق در آمدند. نمونه‌ها، پس از خشک شدن، به مدت یک ساعت، و در فشار جو، در کورهای در دماهای ۴۰۰، ۲۵۰، ۵۵۰، ۷۰۰ و ۷۵۰°C پایداری سرپانتین در کمان آتشفسانی، تصویر اقتباس از [۳۱].

تشکیل می‌شوند. فرایندی که از آن با عنوان سرپانتینی شدن<sup>۱</sup> یاد می‌شود. کانی‌های سرپانتین، در زون فرورانش و اعماق ۱۵۰ تا ۲۰۰ کیلومتری، آب موجود در ساختار بلوری خود را از دست می‌دهند (شکل ۱)، این آب، باعث ذوب بخشی سنگ‌ها، در اعماق ۱۰۰ تا ۱۳۰ کیلومتری و دمای ۱۳۰۰ درجه سانتیگراد شده و ماقماتیسم سری آهکی-قلیایی را در جزایر قوسی، موجب می‌شود [۵-۳]. لذا دانستن میزان پایداری، تغییرات کانی‌شناسی و واکنش‌های گرمایی کانی‌های سرپانتین، در تعیین ساز و کار فرورانش، ماقماتیسم و عمق صفحات فرورونده بسیار راهگشا خواهد بود. از جمله کارهای تجربی که برای تعیین میزان پایداری کانی‌های سرپانتین انجام گرفته، می‌توان به وندر و شریر [۶] اشاره کرد (شکل ۲). تولید و واپاشی سرپانتین، در فرایندهای چین‌خوردگی لبه‌های فرورونده زمین لرزه‌های عمیق نیز اخیراً مورد توجه برخی از پژوهشگران قرار گرفته است [۷، ۸]. به طور کلی هدف از این کار پژوهشی، بررسی رفتار گرمایی لیزاردیت‌های طبیعی در فشار جوی، بر اساس روش‌های سنگ‌شناختی، XRD، DTA، TG است. بدین منظور، نمونه‌هایی از سرپانتینیت‌های منطقه افیولیتی نیز انتخاب شده و تغییرات آن‌ها مورد بررسی قرار گرفتند.



شکل ۱ تصویر نمادی از ساختار گرمایی در نواحی فرورانشی و میدان پایداری سرپانتین در کمان آتشفسانی. تصویر اقتباس از [۳۱].

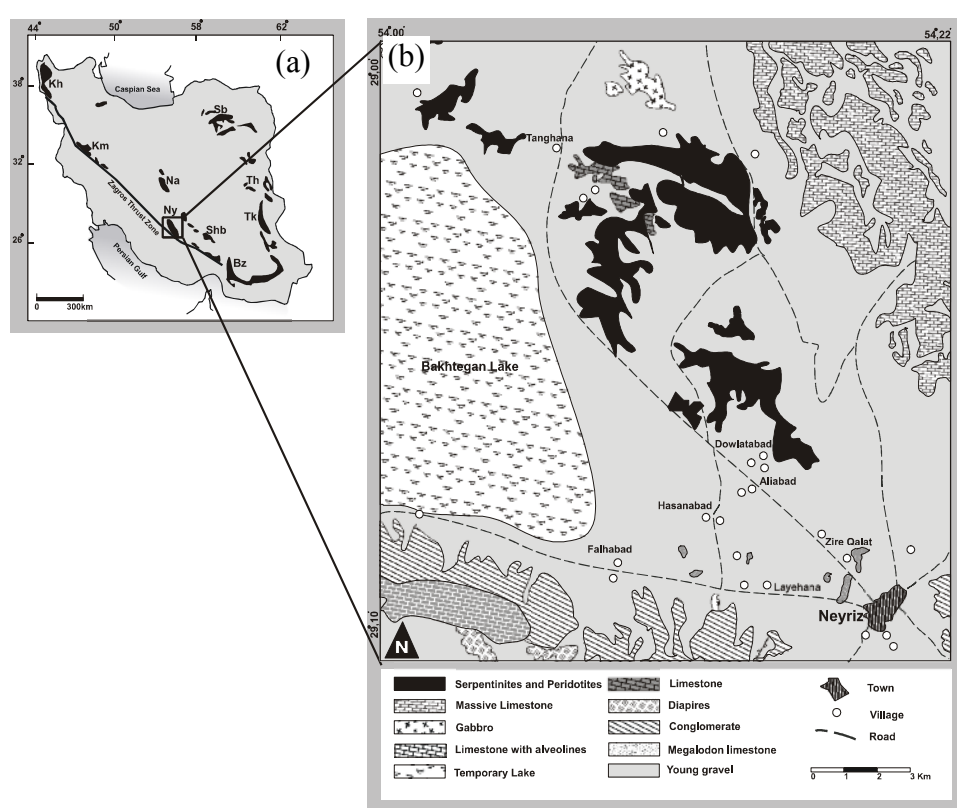
1- serpentization

Ophiolitique Peri Arabe) نام داده است [۱۰، ۱۱]. ولی اشتوکلین برای آن نام نوار افیولیتی محوری بیرونی (Outer Axial Ophiolitic Belt) را انتخاب کرده است [۱۲]. افیولیت نیریز را می‌توان بخشی از گوشهٔ بالایی و پوستهٔ اقیانوسی نئوتیس در نظر گرفت [۱۳]. بر اساس بررسی‌های سن سنجی  $\text{Ar}/\text{Ar}$  افیولیت‌های نیریز را به کرتاسهٔ بالایی وابسته می‌دانند [۱۴، ۱۵]. بیشتر پژوهشگران [۱۶، ۱۷] فرونشصفحه عربی به زیر ریز پهنهٔ ایران مرکزی، در نتیجهٔ بسته شدن اقیانوس نئوتیس، را عامل جایگیری این افیولیت‌ها دانسته‌اند. بر اساس داده‌های ژئوشیمیایی نیز، سنگ‌های این منطقه، در گسترهٔ جزایر قوسی با ویژگی‌های سری آهکی-قلیایی قرار می‌گیرد، واقع می‌شود [۱۸]. سنگ‌های موجود در این همبافت، شامل پریدوتیت‌های سرپانتینی شده (از جملهٔ هارزبورزیت، لرزولیت، دونیت و پیروکسنیت)، گابروهای لایه‌ای و توده‌ای، گدازه‌های بالشی و چرت‌های رادیولاریتی است [۱۹]. در مواردی نفوذ مagmaهای پریدوتیتی در دمای بالا، به درون آهک‌های بلورین، موجب اسکارن‌زایی در منطقهٔ شده است [۲۰].

۶۰۰، ۶۵۰، ۷۰۰، ۷۵۰، ۸۵۰ و ۱۱۰۰ درجهٔ سانتیگراد قرار گرفتند.

Differential Thermal Analysis (DTA-TG) and Thermal Gravimetry Analysis آگاهی از چگونگی تبادلهای فازی، به موازات افزایش دما و STA کاهش وزن ناشی از واکنش‌ها، با تجزیهٔ کنندهٔ گرمایی NETZSCH 409 PC Luxx آنالیزها، دما به طور پیوسته از  $20^{\circ}\text{C}$  (دماهی آزمایشگاه) تا  $1100^{\circ}\text{C}$  افزایش داده شد و نرخ افزایش دما  $20^{\circ}\text{C}$  بوده و از ۱۰۰ میلی گرم نمونه برای آنالیزها استفاده شده است.

زمین‌شناسی منطقهٔ مورد بررسی افیولیت نیریز، بخشی از نوار افیولیتی، به طول تقریبی ۳۰۰۰ کیلومتر، است که به طور ناپیوسته از سوریه شروع و پس از گذر از جنوب ترکیه و زاگرس به عمان می‌رود (شکل ۳). این نوار، که به صورت یک کمان در راستای راندگی‌های میان دو صفحهٔ عربستان و صفحهٔ ایران قرار دارد، به وسیلهٔ ریکو، Croissant و به آن هلال افیولیتی حاشیهٔ عربستان (Croissant) بررسی و به آن هلال افیولیتی حاشیهٔ عربستان (Croissant) بررسی و به آن هلال افیولیتی حاشیهٔ عربستان (Croissant)

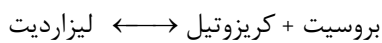


شکل ۳ (a) نقشهٔ پراکندگی مجموعهٔ افیولیتی و آمیزه‌های رنگین ایران (اقتباس از [۳۲]) و موقعیت منطقهٔ مورد بررسی. اصلی‌ترین افیولیت‌های ایران عبارتند از: Ny = نیریز، Na = نائین، Shb = شهربادک، Bz = بندزیارت، Tk = خوی، Sb = سیزووار، Km = چهل کوه، Th = تربت حیدریه، =Km = کرمانشاه. (b) نقشهٔ زمین‌شناسی منطقهٔ مورد بررسی و رخمنون سنگ‌های سرپانتینیتی در آن.

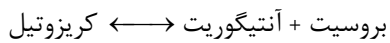
(Deserpentinization) یاد می‌شود. این فرایند می‌تواند در دما و فشارهای مختلف رخ دهد. تعادل‌های فازی وابسته به کانی‌های سرپانتین، در سیستم  $MgO-SiO_2-H_2O$ ، توسط او亨انی در سال ۱۹۹۲ بررسی شد [۲۶]. وی نشان داد که، کانی‌های سرپانتین، با افزایش دما، آب خود را از دست داده و به کانی‌های چون الیوین، پیروکسن، تالک و کلریت تبدیل می‌شوند. این واکنش‌ها گرماییر بوده و مقادیری آب تولید خواهند کرد. روابط فازی لیزاردیت، آنتیگوریت، کریزوتیل، بروسیت، فورستریت، تالک، انستاتیت، آنتوفیلیت، کوارتز و آب، در دما و فشارهای مختلف، توسط برمون و همکاران (۱۹۸۶) مورد بررسی قرار گرفته است [۲۷]. بر این اساس، واکنش‌های زیر، در شرایط ترمودینامیکی پایدار، می‌توانند بوقوع به پیوندندند [۲۸]:



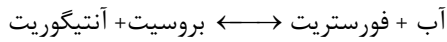
(در دمای حدود ۱۸۰ درجه سانتیگراد)



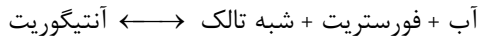
(در دمای حدود ۲۲۰ درجه سانتیگراد)



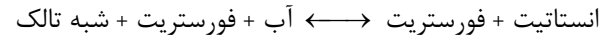
(در دمای حدود ۲۵۰ درجه سانتیگراد)



(در دمای حدود ۳۵۰ درجه سانتیگراد)



(در دمای حدود ۵۵۰ درجه سانتیگراد)



(در دمای حدود ۷۰۰ درجه سانتیگراد)

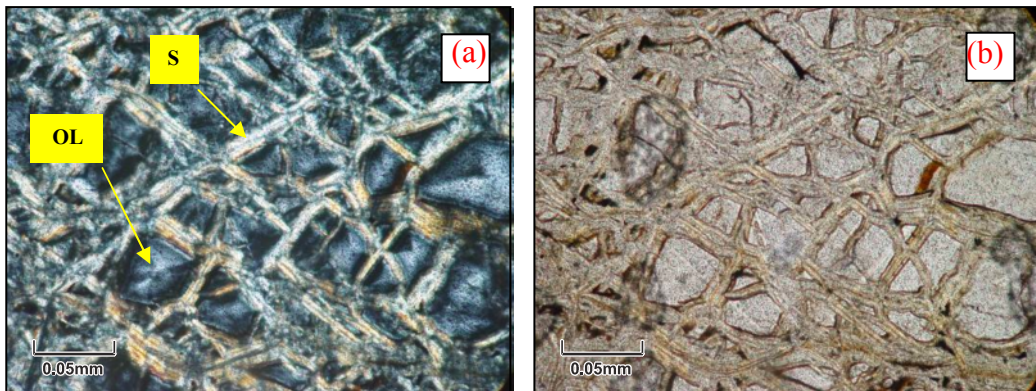
### بررسی‌های سنگ‌شناختی

بررسی‌های سنگ‌شناختی نشان داد که، خاستگاه این نمونه سنگ‌های افیولیتی، هارزبورزیت است. این سنگ‌ها، به طور کامل سرپانتینی و به سنگ سرپانتینیت تبدیل شده‌اند. هارزبورزیت‌های سرپانتینی شده، منطقه‌ای به گستردگی ۵۵ کیلومتر مربع را می‌پوشانند. در این سنگ‌ها، پاراژنر کانی‌ای سرپانتین  $\pm$  تالک  $\pm$  ماقنیتیت، مشاهده می‌شود. کانی‌های فرومیزین، همچون الیوین (فورستریت) یا ارتو پیروکسن (انستاتیت)، مشاهده نشدن. در مواردی، فقط قالبی از این کانی‌ها قابل تشخیص است، به طوری که، برخی از ارتوپیروکسن‌ها دگرسان شده و فقط قالبی از آن‌ها باقی مانده است. بر اساس رده‌بندی او亨انی و ویکس - ویتاکر و ویژگی‌های بافتی، سرپانتین‌های موجود از نوع لیزاردیت  $\pm$  آنتیگوریت و رگه‌هایی از نوع کریزوتیل است (شکل ۴) [۲۱-۲۳].

### واکنش‌های وابسته به تجزیه سرپانتین

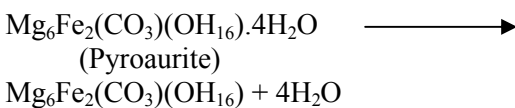
با افزایش دما، میدان پایداری کانی‌های سرپانتین محدودتر می‌شود، به طوری که لیزاردیت و کریزوتیل تا رخساره شیست سبز بالایی ( $550^{\circ}\text{C}$ ) و آنتیگوریت تا رخساره آمفیبولیت میانی ( $700^{\circ}\text{C}$ ) پایدارند [۲۴]. در اینجا لازم به یادآوری است که میزان پایداری لیزاردیت علاوه بر دما و فشار به دو عامل زمان و اندازه ذرات نیز بستگی دارد. بر اساس بررسی‌های [۲۶]، مشخص شد که لیزاردیت در دمای  $600^{\circ}\text{C}$  (کلوین) پس از ۲۷ دقیقه و در دمای  $700^{\circ}\text{C}$  (کلوین) پس از ۱۰ دقیقه دستخوش واپاشی می‌شود [۲۵].

تجزیه سرپانتین به الیوین، پیروکسن، تالک، کلریت و کانی‌های کم آب، فرایندی است که از آن به دسرپانتینیزاسیون



شکل ۴ تصویری از مقطع میکروسکوپی سرپانتینیت‌های نیریز با بافت غربالی (mesh-texture) و شبه ریختی‌هایی از الیوین (OL) که فقط قالبی از آن باقی مانده و به سرپانتین (S) دگرسان شده‌اند. (تصویر (a) در نور XPL و تصویر (b) در نور PPL).

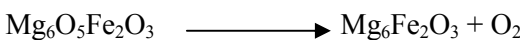
سانتيگراد و مرحله سوم در گستره دمايی ۲۴۵-۴۰۰ درجه سانتيگراد صورت می گيرد. اين پژوهشگران مرحله اول را مرحله آبزديبي، مرحله دوم را مرحله کربن زديبي و هيدرواکسيل زديبي و مرحله سوم را مرحله اكسيزن زديبي خوانده اند. لذا نمونه هاي مورد بررسى در مرحله اول (در دماي ۱۵۰°C) بنابر واکنش زير، آب جذبي را از دست داده و دستخوش آبزديبي شده اند.



در مرحله دوم پيروآوريت موجود در نمونه هاي مورد بررسى دى اكسيد کربن و آب خود را در دماي ۲۴۵°C از دست داده و بنابر واکنش زير دستخوش کربن زديبي و هيدرواکسيل زديبي (از دست دادن آب ساختاري) شده است.



و در مرحله آخر بنا بر واکنش زير (در دماي ۴۰۰°C)، کانی پيروآوريت اكسيزن خود را نيز از دست داده و دستخوش اكسيزن زديبي شده است.



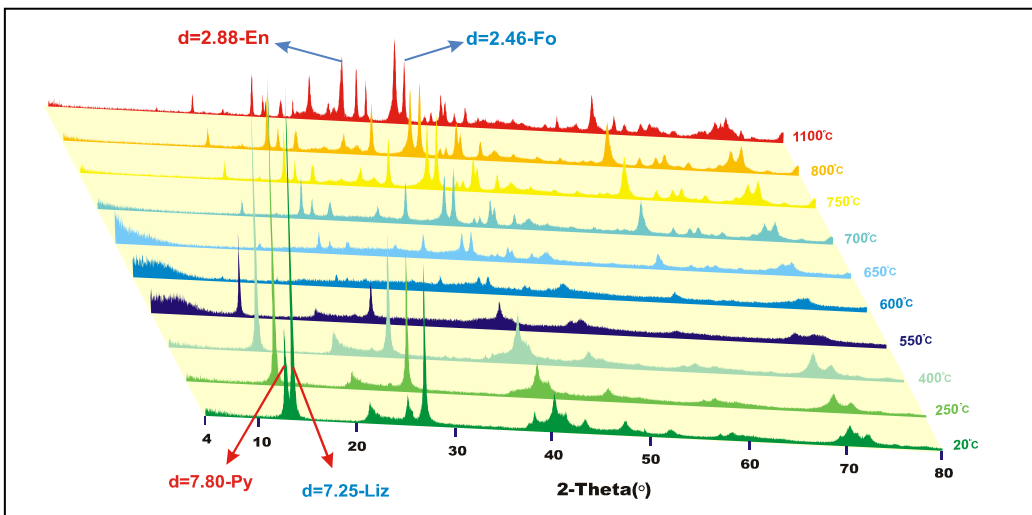
بر اساس نمودار TG می توان دريافت که، در اين سه مرحله، نمونه ۷ درصد کاهش وزن پيدا کرده است. چنانکه اشاره شد، يك قله گرمائي در ۶۹۰°C و يك قله گرمازا در دماي ۸۱۰°C داريم. بر اساس نمودار DTA می توان دريافت که، در گستره دمايی ۵۵۰°C تا ۶۹۰°C واکنش هاي (Mg<sub>3</sub>Si<sub>2</sub>O<sub>5</sub>(OH)<sub>4</sub>) تجزيء لizaradit آغاز می شود. لizaradit با در نتيجه از دست دادن عامل (OH) خود، در دماي بيش از ۷۰۰°C، به فورستريت (Mg<sub>2</sub>SiO<sub>4</sub>) و در دماي حدود ۶۰۰°C به انساتيت (MgSiO<sub>3</sub>) تبديل می شود. نتایج XRD، نیز نشان می دهد که، لizaradit تا دماي ۵۵۰°C مقاوم بوده و در دماهای بالاتر پایداری آن محدود شده و فورستريت و انساتيت گسترش می يابند. اوج تبلور اين دو کانی جديد با قله گرمازاи ۸۱۰°C ثبت شده است. تمامی تغييرات کانی شناسی که با بررسی های XRD انجام گرفته با آناليزهای DTA همخوانی دارد. بر اساس نتایج آناليزهای TG می توان دريافت که نمونه ها طی اين واکنش ها، ۱۹ درصد کاهش وزن يافته اند.

### آناليزهای پراش پروتوبلاست (XRD)

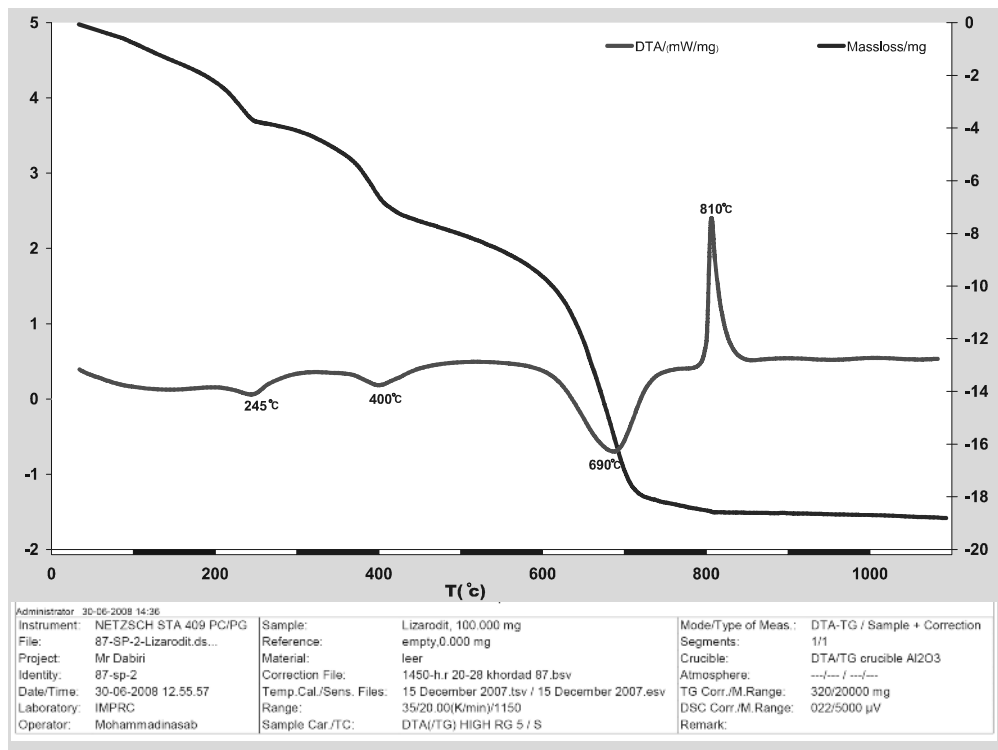
چنانکه اشاره شد، به منظور بررسی رفتار گرمائي و تغييرات فازي، نمونه ها در گستره هاي دمايی متفاوت، تا يك ساعت در شرایط جوي، گرما داده شدند. نخست روی نمونه هاي طبيعي وابسته به سرپانتنيت حاوي ليزاراديت، از مجموعه افيوليتى نيريز، بررسی هاي XRD صورت گرفت. اين بررسی ها نشان داد که، ليزاراديت مهمترین کانی تشکيل دهنده اين سنگ هاست. علاوه بر آن، اندکي تالك آبدار بنام پيروآوريت، نيز با آن دиде می شود. به منظور بررسی تغييرات کانی شناسی ناشی از واکنش هاي گرمائي، بررسی هاي XRD روی نمونه هاي گرما دیده انجام شد. نتایج آناليزها حکایت از آن دارد که، در دماي ۴۰۰°C کانی تالك آبدار از بين می رود. در دماهای ۴۰۰ و ۵۵۰ درجه سانتيگراد، تغييرات کانی شناسی نداشته، ولی با افزایش دما از مقدار ليزاراديت کاسته می شود. تا اينکه، در دماي ۶۰۰°C ليزاراديت کاملاً محوش شده و دیگر آثاری از آن دیده نمی شود و الیون (فورستريت) از اين دما شروع به تبلور می کند. در ۶۵۰°C، فورستريت همچنان به تبلور خود ادامه داده و در ۷۰۰°C انساتيت نيز شروع به ظهور می کند. در دماهای بالاتر، فورستريت و انساتيت به همراه هم متبلور شده و مقدار آنها افزایش می يابد. بنابر نتایج بررسی ها، در ۶۰۰°C آمورفی شدن قابل توجهی در نمونه ها دیده می شود (شکل ۵).

### آناليزهای DTA-TG :

بر اساس نتایج بررسی هاي DTA-TG، نمونه هاي ليزاراديت منطقه مورد بررسی، سه قله گرمائي در دماهای ۲۴۵ و ۴۰۰ و ۶۹۰ درجه سانتيگراد و يك قله گرمازا در دماي ۸۱۰°C را نشان می دهنند (شکل ۶). واکنش هاي گرمائي ليزاراديت با افزایش دما، گسترش می يابد. چنانکه در نمودارهای DTA و TG مشاهده می شود، از دماي ۱۵۰°C آب آزاد و آب جذبي موجود در نمونه ها از بين رفته و نمونه ها دستخوش آبزديبي می شوند. قله هاي گرمائي در دماهای ۲۴۵ و ۴۰۰ درجه سانتيگراد را می توان به وجود کانی تالك آبدار (پيروآوريت) نسبت داد. بر اساس بررسی هاي فراست و اريكسون در سال ۲۰۰۴ کانی پيروآوريت در سه مرحله دستخوش واپاشی می شود [۲۹]. مرحله اول در گستره دمايی ۱۵۰-۰°C درجه سانتيگراد، مرحله دوم در گستره دمايی ۱۵۰-۲۴۵ درجه



شکل ۵ تصویر بلوك دیاگرام XRD يك نمونه از لیزاردیت (نمونه SP-2) منطقه نیریز: در دماهای ۲۰، ۴۰۰، ۲۵۰، ۴۰۰، ۵۵۰، ۶۰۰، ۷۵۰، ۷۰۰، ۸۰۰ و ۱۱۰۰ درجه سانتيگراد و نتایج آناليزهای آنها در دماهای ياد شده. (Liz = لیزاردیت، Py = پیروaurایت، Fo = فورستریت، En = انستاتیت).



شکل ۶ تصویر نمودارهای DTA-TG مربوط به يك نمونه از لیزاردیت منطقه نیریز (نمونه SP-2).

نتیجه گرفت که لیزاردیت‌هایی که به مدت یک ساعت گرمایی دیده‌اند تا دمای  $550^{\circ}\text{C}$  هنوز پایداری داشته و از آن پس دستخوش تجزیه شده و نخست فورستریت و سپس انستاتیت تشکیل می‌شود. در زیر واکنش مربوط طی هیدروکسیل زدایی لیزاردیت ارائه شده است:

#### برداشت

بر اساس نتایج XRD انجام شده در این بررسی معلوم شد که با افزایش دما به مرور از شدت قله‌ها در نمودارهای XRD کاسته می‌شود. به طوری که در دمای بیش از  $550^{\circ}\text{C}$  قله‌های مربوط به کانی لیزاردیت دیگر مشاهده نمی‌شوند. لذا می‌توان

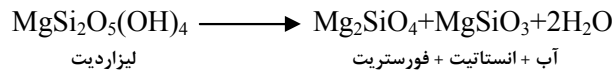
دمای  $600^{\circ}\text{C}$  رخ می‌دهد و موجب تشکیل مقادیر اندکی آب و سیلیس آزاد شده است. کانی‌های سرپانیتن را می‌توان یکی از کانی‌های تأثیر گذار در ماقماتیسم ترشیری ایران دانست. زیرا گمان می‌رود، با فرونشصفحة اقیانوسی نوتیس به زیر ریز پهنه‌ای ایران مرکزی، کانی‌های سرپانیتن، دستخوش هیدروکسیل زدایی شده و مقادیر زیادی ( $\approx 13\%$ ) آب آزاد کرده باشند. آب ناشی از دسرپانیتن شدن، همراه با شاره‌های آزاد شده از ته نشستهای فرونانده شده، باعث کاهش دمای ذوب در شرایط گوشتۀ بالایی شده و ذوب بخشی سنگ‌ها را فراهم آورده‌اند. سنگ‌های ذوب شده با نفوذ به سطوح بالاتر موجب ماقماتیسم و ایجاد کمان ماقمایی ارومیه- دختر در ایران شده‌اند.

### قدردانی

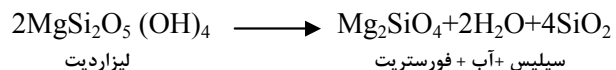
نویسنده‌گان مقاله، نهایت سپاس و قدردانی خود را از نظرات علمی و ارزشمند، داوران محترم مقاله، ابراز می‌دارند. همچنین از جناب آقای مهندس شریف بدلیل حمایت‌های مادی و معنوی کمال تشکر را می‌نمایند.

### مراجع

- [1] Abu El-Rus M.A., Neumann E.R., Peters V., "Serpentinization and dehydration in the upper mantle beneath Fuerteventura (eastern Canary Islands)", Evidence from mantle xenoliths; *Lithos* 89 (2006) 24-46.
- [2] Cerny p., "Comments on serpentinization and related metasomatism", *The American Mineralogist*, 53 (1968) 1377-1385.
- [3] Ohtani E., "Water in the Mantle", *Elements* 1 (2005) 25-30.
- [4] Pawley A.R., Holloway J.R., "Water Sources for Subduction Zone Volcanoes", New Experimental Constraints. *Science* 260 (1993) 664-667.
- [5] Ulmer P., Trommsdorff V., "Serpentine stability to mantle depths and subduction-related magmatism", *Science* 268 (1995) 858-861.
- [6] Wunder B., Schreyer W., "Antigorite: Highpressure stability in the system  $\text{MgO-SiO}_2-\text{H}_2\text{O}$  (MSH)", *Lithos* 41 (1997) 213-227
- [7] Ruepke L., Phipps Morgan, J., Morra G., Regenauer-Lieb K., Connolly J., Hort M., "Modeling the role of serpentinization and



نتایج حاصل از بررسی‌های DTA نیز با نتایج آنالیزهای XRD همخوانی دارد. آنالیزهای DTA نشان می‌دهند که واکنش‌های هیدروکسیل زدایی لیزاردیت، از دمای  $550^{\circ}\text{C}$  شروع و تا دمای  $690^{\circ}\text{C}$  ادامه می‌یابد. بررسی‌های انجام شده با پرتو X نشان می‌دهد که در دمای بالاتر از  $600^{\circ}\text{C}$  فورستریت ظاهر شده و شروع به رشد می‌کند و در دمای  $700^{\circ}\text{C}$  انستاتیت نیز بدان می‌پیوندد. دمای  $810^{\circ}\text{C}$  که با قله گرمایی مشخص شده است، در واقع اوج واکنش‌های هیدروکسیل زدایی است. به عبارت دیگر در این دما تولید کانی‌های فورستریت و انستاتیت از رونق خاصی برخوردارند. به هر حال نتایج XRD دلالت بر این دارد که انستاتیت دیرتر از فورستریت تشکیل می‌شود (پس از  $700^{\circ}\text{C}$ ). نتایج آنالیزهای XRD نشان می‌دهد که از دمای  $550^{\circ}\text{C}$  سانتیگراد و همزمان با واپاشی لیزاردیت، آمورفی شدن در نمونه دیده می‌شود که این امر در  $600^{\circ}\text{C}$  چشمگیرتر است. از دمای  $650^{\circ}\text{C}$  به بعد (همزمان با پیدایش فورستریت) آمورفی شدن با افزایش دما کاهش می‌یابد. به طوری که در بالاترین دما ( $1100^{\circ}\text{C}$ ) کمترین میزان آمورفی شدن و بیشترین شدت قله‌ها و بلورشده‌گی فورستریت و انستاتیت وجود دارد. آمورفی شدن پرایندی است که در نتیجه آزاد شدن سیلیس طی واکنش‌های گرمایی صورت می‌گیرد [ $30^{\circ}\text{C}$ ]. لذا بنابر واکنش زیر داریم:



به طورکلی بر اساس نتایج بررسی‌های DTA-TG-XRD بر روی کانی لیزاردیت می‌توان نتیجه گرفت که این کانی تا دمای  $550^{\circ}\text{C}$  پایدار بوده و واکنش‌های آب‌زدایی آن، از دمای ۱۰۰ تا  $150^{\circ}\text{C}$  درجه سانتیگراد و واکنش‌های هیدروکسیل زدایی آن، در گستره دمایی  $550^{\circ}\text{C}$  تا  $690^{\circ}\text{C}$  درجه سانتیگراد صورت می‌گیرد. در دمای  $600^{\circ}\text{C}$  الیوین (فورستریت) و در دمای  $700^{\circ}\text{C}$  پیروکسن (انستاتیت) در نتیجه واپاشی لیزاردیت تشکیل می‌شوند. بین واکنش‌های آب‌زدایی و تبلور، آمورفی شدن در

- Kerman and Neyriz", Journal of Asian Earth Sciences 24/4 (2005) 405-417.*
- [17] Sheikholeslami M.R., Piqué A., Mobayen P., Sabzehei M., Bellon H., Emami M.H., "Tectono-metamorphic evolution of the Neyriz metamorphic complex, Quri-Kor-e-Sefid area (Sanandaj-Sirjan Zone, SW Iran)", Journal of Asian Earth Sciences 31/4-6 (2008) 504-521.
- [18] Babaie H.A., Ghazi A.M., Babaie A., La Tour T.E., Hassanipak A.A., "Geochemistry of arc volcanic rocks of the Zagros Crush Zone, Neyriz, Iran", Journal of Asian Earth Sciences 19/1-2 (2001) 61-76.
- [19] NADIMI A., "Microstructural analysis of plastic deformation of upper mantle and shear zones of the Neyriz ophiolite, southeastern Iran", MSc. Thesis, Shiraz University, Shiraz, Iran (1999).
- [20] NADIMI A., "Mantle flow patterns at the Neyriz paleospreading center, Iran", Earth and Planetary Science Letters 203 (2002) 93-104.
- [21] Hall R., "Contact metamorphism by an ophiolite peridotite from Neyriz, Iran", Science, 208/4449 (1980) 1259-1262.
- [22] O'Hanley D.S., "Serpentinites-Records of Tectonic and Petrological History", Oxford Monographs on Geology and Geophysics, 34 (1996) 277pp.
- [23] Wicks F.J., Whittaker E.J.W., "Serpentine textures and serpentinization", Canadian Mineralogist 15 (1977) 459-488.
- [24] O'Hanley D. S., "Fault-Related phenomena associated with hydration and serpentine recrystallization during serpentinization", Canadian Mineralogist 29 (1991) 21-35.
- [25] Bucher K., Frey M., "Petrogenesis of Metamorphic Rocks", sixth Edition (1994) 318 pp.
- [26] Frank M.R., Earnest D.J., Candela P.A., Wylie A.G., Wilmot M., Maglio S.J., "Experimental Study of the Thermal Decomposition of Lizardite up to 973 K", GSA Abstracts with Programs (2005).
- [27] Berman R.G., Engi M., Greenwood H.J., Brown T. H., "Derivation of internally consistent thermodynamic data by the technique of mathematical programming: a review with application to the system MgO-SiO<sub>2</sub>-H<sub>2</sub>O", J. Petrol. 27 (1986) 1331-1364.
- deserpentinization in bending and unbending slabs", Geophysical Research Abstracts 5 (2003) 05421.*
- [8] Jung H., Dobrzhinetskaya L. F., Green H. W., "Dehydration embrittlement of serpentine and its implications for earthquakes at depth", Geophysical Research Abstracts 5 (2003) 12702.
- [9] Sheikholeslami M.R., Bellon H., Emami H., Sabzehei M., Piqué A., "Nouvelles données structurales et datations <sup>40</sup>K-<sup>40</sup>Ar sur les roches métamorphiques de la région de Neyriz (zone de Sanandaj-Sirjan, Iran méridional). Leur intérêt dans le cadre du domaine néo-téthysien du Moyen-OrientNew structural and <sup>40</sup>K-<sup>40</sup>Ar data for the metamorphic rocks in Neyriz area (Sanandaj-Sirjan Zone, Southern Iran). Their interest for an overview of the Neo-Tethyan domain in the Middle East", Comptes Rendus Geosciences 335(2003) 981-991.
- [10] RICOU L.E., "Le croissant ophiolitique péri-arabe, une ceinture de nappes mises en place au Crétace supérieur", Rev. Geol. Phys. Geol. Dyn. 13/4 (1971) 327-350
- [11] Ricou L.E., "Evolution structurale des Zagrides: la région clef de Neyriz (Zagros Iranien)", Memoir de la Societe Geologique de France, Nouvelle serie (40) 125 (1976) 140pp.
- [12] Stocklin J., "Structural correlation of the Alpine ranges between Iran and central Asia", Societe Geologique de France Memoire Hors-Serie, 8 (1977) 333-353.
- [13] Sarkarinejad Kh., "Structures and microstructures related to steady-state mantle flow in the Neyriz ophiolite, Iran", Journal of Asian Earth Sciences 25/6 (2005) 859-881
- [14] Babaie H. A., Ghazi M., Babaie A., Duncan R., Mahoney J., Hassanipak A.A., "New Ar-Ar age, isotopic, and geochemical data for basalts in the Neyriz ophiolite, Iran", Geophysical Research Abstracts, European Geophysical Society 5 (2003) 12899.
- [15] Lanphere M.A., Pamić J., "<sup>40</sup>Ar/<sup>40</sup>Ar Ages and tectonic setting of ophiolite from the Neyriz area, southeast Zagros Range, Iran", Tectonophysics 96/3-4 (1983) 245-256.
- [16] Shahabpour J., "Tectonic evolution of the orogenic belt in the region located between

- [31] Fumagalli P., Poli S., "Experimentally Determined Phase Relations in Hydrous Peridotites to 6.5 GPa and Their Consequences on the Dynamics of Subduction Zones", *Journal of Petrology* 46 (2005) 555-578.
- [32] Emami M.H., Sadegi M.M., Omrani S.J., "Magmatic map of Iran, Scale 1/1,000,000", Geological Survey of Iran, (1993).
- [28] Skelton A., Jakobsson M., "Could peridotite hydration reactions have provided a contributory driving force for Cenozoic uplift and accelerated subsidence along the margins of the North Atlantic and Labrador Sea? Norwegian", *Journal of Geology* 87 (2007) 241-248.
- [29] Frost Ray L., Erickson Kristy L., "Thermal decomposition of synthetic hydrotalcites reevesite and pyroaurite", *Journal of Thermal Analysis and Calorimetry* 76/1 (2004) 217-225.
- [30] Irifune T., Kuroda K., Funamori N., Uchida T., Takehito Y., Inoue T., Miyajima N., "Amorphization of serpentine at high pressure and high temperature", *Science* 272 (1996) 1468-1470.